

京都大学大学院 学生員 中井 俊雄
 京都大学工学部 正員 岩佐 義郎
 京都大学工学部 正員 稲 史郎

1. はじめに；河川においては、降雨に伴い多量の濁質が流入するが、多くの場合、降雨終了とともに、濁度はすみやかに低下していく。しかしながら、貯水池がある場合には、流入した濁水が貯水池に貯留され、長期にわたって濁水が放流されることもあり、このような濁水の流下に伴う挙動を明らかにすることは、河川環境を考えるうえで極めて重要な課題であると考えられる。本報は、このような濁度の挙動に関する基礎的知見を得ることを目的として行われた室内実験結果について報告するものである。

2. 減衰速度の定義；次節で詳述するように、水路上流端より一定濃度の濁水を流下させ、流下方向にその濁度を測定すれば、Fig. 1 のように濁度は流下方向に低減し、距離と濁度の関係を片対数紙上にプロットすれば 1 つの直線にのり、濁度は指数関数的に低減することがわかる。すなわち、

$$\frac{dC}{dx} = -kC \quad (1)$$

の関係を得ることができる。ここに、 k は、直線の傾きより求まる減衰係数である。一方、濁質を保存性物質と考えて、質量保存則としての移流分散方程式を考えると

$$\frac{\partial A C}{\partial x} + \frac{\partial Q C}{\partial z} = \frac{\partial}{\partial x} (A D \frac{\partial C}{\partial x}) - S f(C) \pm g' C' \quad (2)$$

とすることができる。ここに、 C ；濁度、 A ；流積、 Q ；流量、 D ；分散係数、 S ；濁度、 C' ；単位長さあたりの表面流出入流量、 C_b ；表面流入出水濁度； C_b ；境界面 S を流出する濁水濃度であり、(2) 式右辺第 2 項は、境界面(濁度 S)を通じて、種々の形態で流出する濁度フラックスを示している。(2) 式において、表面流出入ではなく流れは等流であること、濁度の時間的变化はないこと、分散項の影響は無視できることを仮定すれば、(1) 式と(2) 式の式形より、

$$-\frac{\partial}{\partial x} f(C_b) = -kC \quad \text{i.e., } -\frac{\partial}{\partial x} V_b C = -kC \quad (3)$$

とすることができる。ここに、 V_b ；減衰速度であるが、これは濁度を通して種々の形態で流出する濁水による総括的T_b濁度の減衰速度を示しているものと考えることができる。

3. 実験方法；実験は、所定流量の清水を流していいる水路上流端 1~2 m 付近の点より、水路幅方向に一様に懸濁液を

定常的に投入し、光電式濁度計により流下方向の濁度を 1~4 m 毎に測定し、定常状態の濁度の縦断分布を調べるという方法で行われ、減衰速度 V_b と水路床条件等の関係をみるため、Table 1 に示すとおり水路床状態(粗径層厚)、使用懸濁液および濃度、流量、底床勾配を種々に変化させ、計 46 通り (Run A~J Series) 行われた。¹⁾ 実験諸量については紙面の都合上省略する。また、層厚 3.1 cm (Case 1) と 5.1 cm (Case 2) を有する浸透性粗面について、染料投入点を種々に変えて、瞬間もしくは連続投入によつて染料実験を行つた。なお、染料としては、メチレンブルー、ローダミン B を用いた。

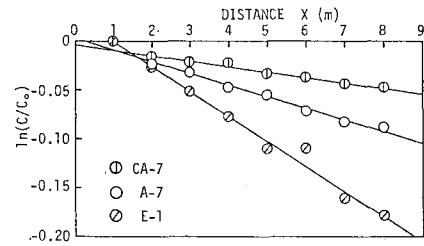


Fig. 1 $C \sim x$ 曲線

Table 1 実験ケース一覧

Run NO.	(1) 使用水路	(2) 代表粒径 d_{50} (cm)	(3) 層厚 H_b (cm)	(4) 水路床状態	(5) 使用懸濁液
A	A	0.264	0.264	R	K
B	A	0.264	1.0	P	K
CA	A	—	—	S	K
CB	C	—	—	S	K
D	A	0.402	2.0	P	K
E	A	0.692	4.0	P	K
F	A	1.16	4.0	P	K
G	B	0.264	3.1	P	K
H	B	0.264	3.1	P	DP
I	B	0.264	3.1	P	D
J	B	0.264	3.1	P	DP

(1) 使用水路

A ; アルミニウム水路 (10m x 0.1m) K ; カオリン ($d_{50}=10\mu$, $\rho=2.65g/cm^3$)

B ; アクリル製水路 (10m x 0.1m) DP ; ダイカライト パーライト ($d_{50}=4\mu$, $\rho=1.87g/cm^3$)

C ; アクリル製水路 (34m x 0.1m) D ; ダイカライト ($d_{50}=1\mu$, $\rho=1.98g/cm^3$)

(2) 水路床状態

R ; 平面

P ; 浸透性粗面

S ; 商面

4. 結果とその考察；得られた濃度分布の例を示せば、前述の Fig. 1 のようであり、不浸透性滑面 (S)，不浸透性粗面 (R)，浸透性粗面 (P) のいずれの路床状態の場合でも、流下に従い指數関数的に濃度が低減していくことがわかる。(2) 式を考えた段階では、濃度の減衰は、浸透性路床内の流れと主流部間の渦質の移動によるものと仮定していたが、実験結果からは、(2) 式右辺第 2 項の意味としては、渦辺を通過して付着等の要因による主流部からの渦質の離脱（あるいは、渦質の捕獲）をも考慮した項と考えるべきである。

Fig. 2 は、このように濃度の減衰速度の濃度値による依存性を調べる目的で、ほぼ同一の水理、路床条件のもとで、D.P. 濃濃度を用いて投入濃度をかえて行なった実験結果を示したものであるが、減衰速度の上流端濃度への依存性は、さほど大きなものではない。

また、同一の水理、路床条件のもとで、渦質として、カオリン (K)，ダイカライトパールライト (DP)，ダイカライト (D) の 3 種を用いて行なった実験結果からは、カオリンの減衰速度が一番大きく、DP、K の二者は、ほぼ同一であるが、カオリンの場合よりやや小さい減衰速度であった。

次に、得られたすべての V_b を用いて、次元解析した結果を示すと Fig. 3、4 のようである。ただし、渦面水路においては、水路構成材料の粒径 dm に相当する量として粘性底層厚 δ ($= 5 \frac{V_b}{U_*}$) を用いた。Fig. 3 より、同一の水路床状態に対して、

$$\frac{V_b}{U_*} \sim dm$$

の関係が明らかであり、また Fig. 4 より、次の関係が得られる。

$$\frac{V_b}{U_*} = 1.80 \times 10^{-5} (U_* h)^3 \quad (4)$$

染料実験の結果を示したもののが、Fig.

5(a)～(e) である。染料は $\frac{1}{2}$ の位置に投入し、(b) では、路床面上に一様に、(c), (d) では、主流部、浸透層上部、下部より定期的に投入した場合のパターンを示している。これらの図より浸透層上部においては、主流と浸透層との交換は頻繁に行われる ($w/h = V_b/U_*$ および $\frac{V_b}{U_*} \sim dm$ の関係) が、浸透層下部の流れは容易に Fig. 3 の $\frac{V_b}{U_*} \sim dm$ の関係からわかるが、主流と交換されないことがわかるが、その詳細は明らかではなく、また、後述から指摘されている浸透層内流速の指數分布則との関係も明らかではない。

5. おわりに；本報では、減衰速度 V_b と水理量や河床材料との関係の考察を行なうが、浸透層内の流れについては不明な点が多く、今後、浸透層内の流れおよびそれと主流との交換について研究をすすめてゆきたい。最後に、本研究をすすめるにあたり、実験解析に御助力いただいた牛島省氏（電力中央研究所）、三石真也氏（京都大学大学院）に謝意を表します。

〈参考文献〉

- 1) 牛島省；京都大学修士論文，1984
- 2) 芦田他；京都大学防災研究年報第 23 号 B-2, 1980
- 3) 山田正, 川端頼え；土木学会論文報告集 No. 325, 1982

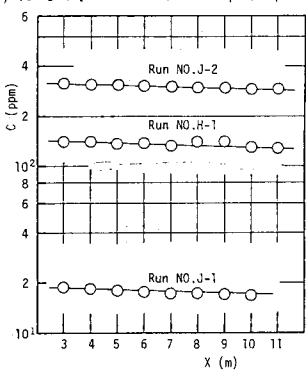


Fig. 2 C ~ X 曲線

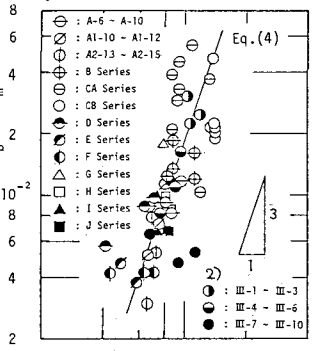
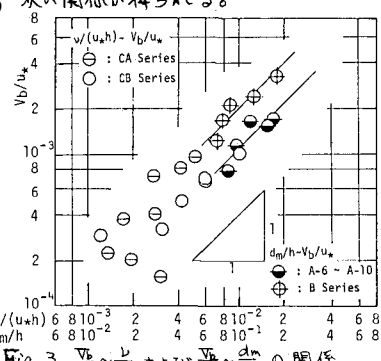


Fig. 4 $\frac{V_b}{dm} \sim \frac{U_*}{U_x}$ の関係



Fig. 5 (a) 染料実験の結果



Fig. 5 (b) 染料実験の結果



Fig. 5 (c) 染料実験の結果



Fig. 5 (d) 染料実験の結果



Fig. 5 (e) 染料実験の結果